

24-23-GS-RM-9501: Aspecto general de la Fm. Brechas de Cuenca.



24-23-GS-RM-9502: Erosión ruiniforme en las dolomías de la Ciudad Encantada.



24-23-GS-RM-9503: Escarpe de las formaciones Dolomías de Alatoz, Dolomías tableadas de Villa del Ves, Margas de Casa Medina y Dolomías de la Ciudad Encantada en la Muela de la Madera.



24-23-GS-RM-9504: Yesos de la Fm. Villalba de la Sierra en el Bco. Merino.



24-23-GS-RM-9505: Depresión terciaria de Mariana.



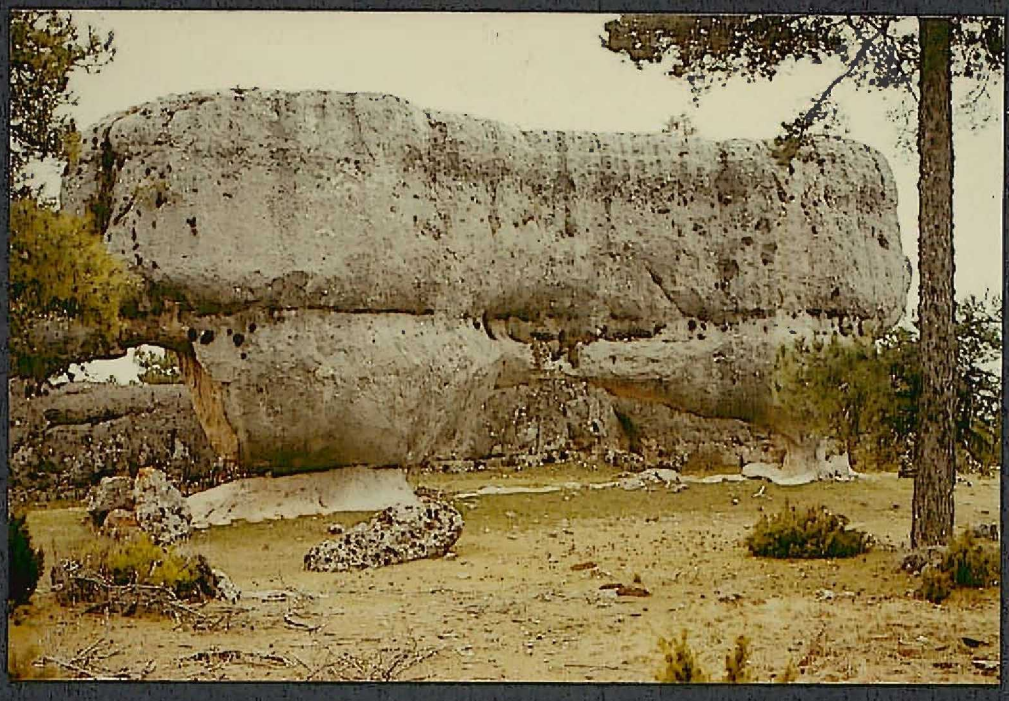
24-23-GS-RM-9506: Terraza sobre los conglomerados basales de la unidad 15.



24-23-GS-RM-9507: Escarpe con pequeñas fallas directas en las calizas de la Fm. Carbonatada de Chelva.



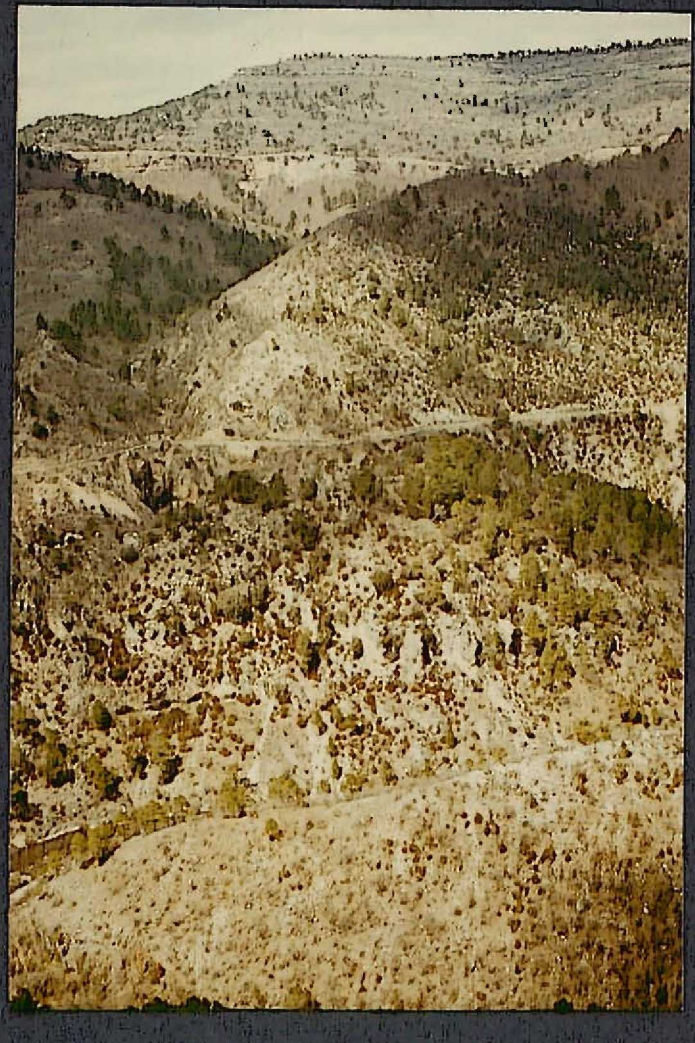
24-23-GS-RM-9508: Aspecto general del salto de la falla del Boquerón, afectando a las Dolomías de la Ciudad Encantada junto al Pantano de - la Toba.



24-23-GS-RM-9511: Arco rocoso en las Dolomías de la Ciudad Encantada.



24-23-GS-RM-9512: Calizas de Cuevas Labradas en el valle del Jucar. Arriba resalte del Dogger.



24-23-GS-RM-9513: Escarpes en las Carniolas de Cortes del Tajuña. Valle del Jucar.



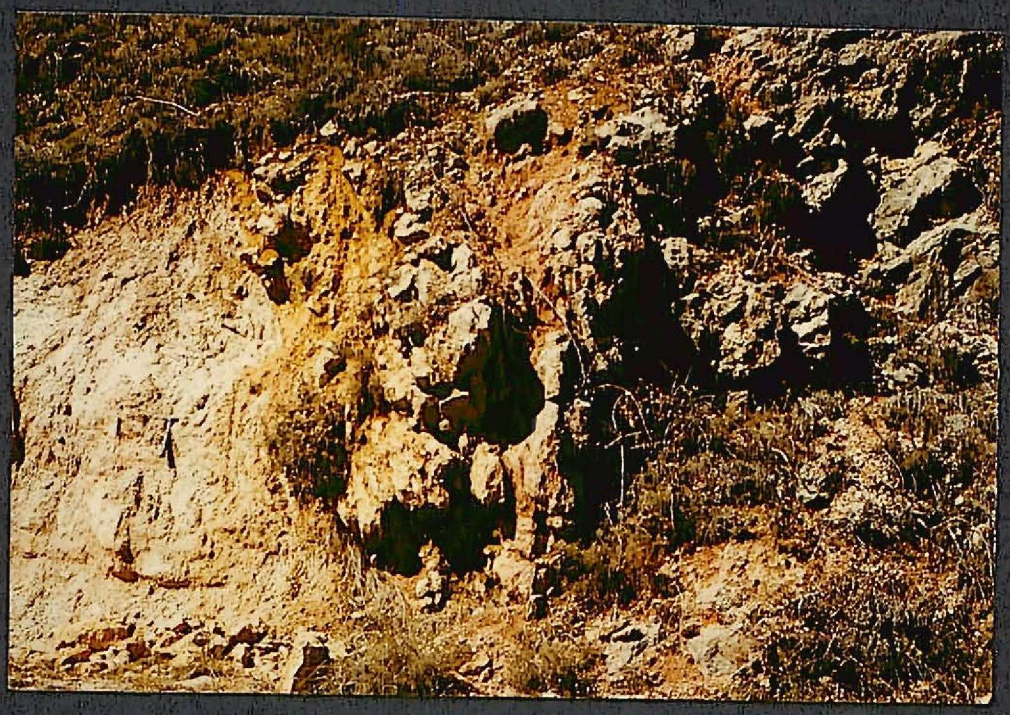
24-23-GS-RM-9514: Cañón del Jucar, al W de Uña.



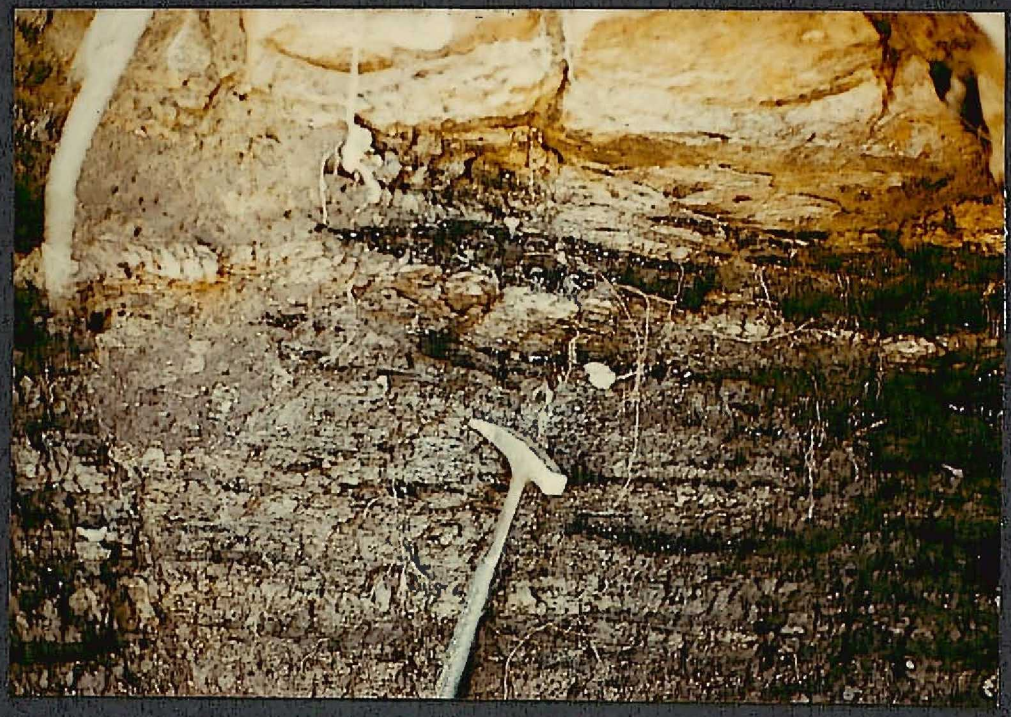
24-23-GS-RM-9515: Discordancia de la base de la Fm. Calizas de la Huerguina sobre las calizas replegadas disarmónicamente del Mb. Casinos.



24-23-GS-RM-9516: Estratificación cruzada de gran escala en las Dolomías de la Ciudad Encantada.



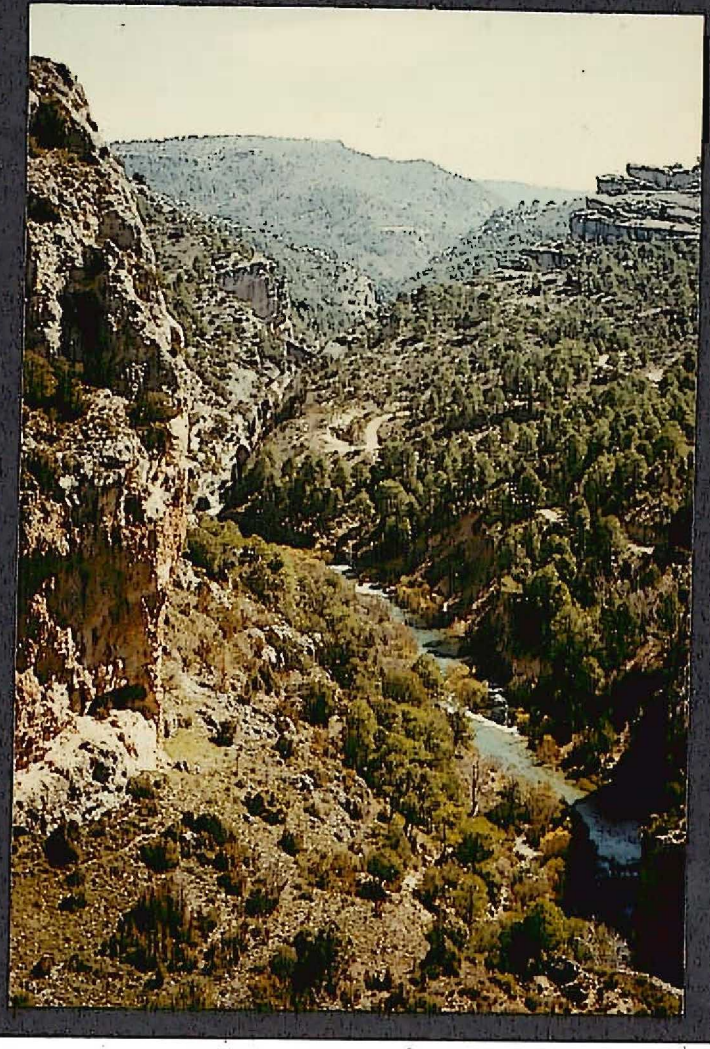
24-23-GS-RM-9517: Contacto entre el Utrillas y el Cretácico superior. Falla del Boquerón.



24-23-GS-RM-9518: Lignitos dentro de la Fm. Calizas de la Huerguina.



24-23-GS-RM-9519: Canal de areniscas relleno de estratificación cruzada Fm. Arenas de Utrillas.



24-23-GS-RM-9520: Cañón del Río Jucar desde el Ventano del Diablo.



24-23-GS-RM-9521: Tormo Alto. Ciudad Encantada.



24-23-GS-RM-9522: Lapiaz en las Dolomías de la Ciudad Encantada.



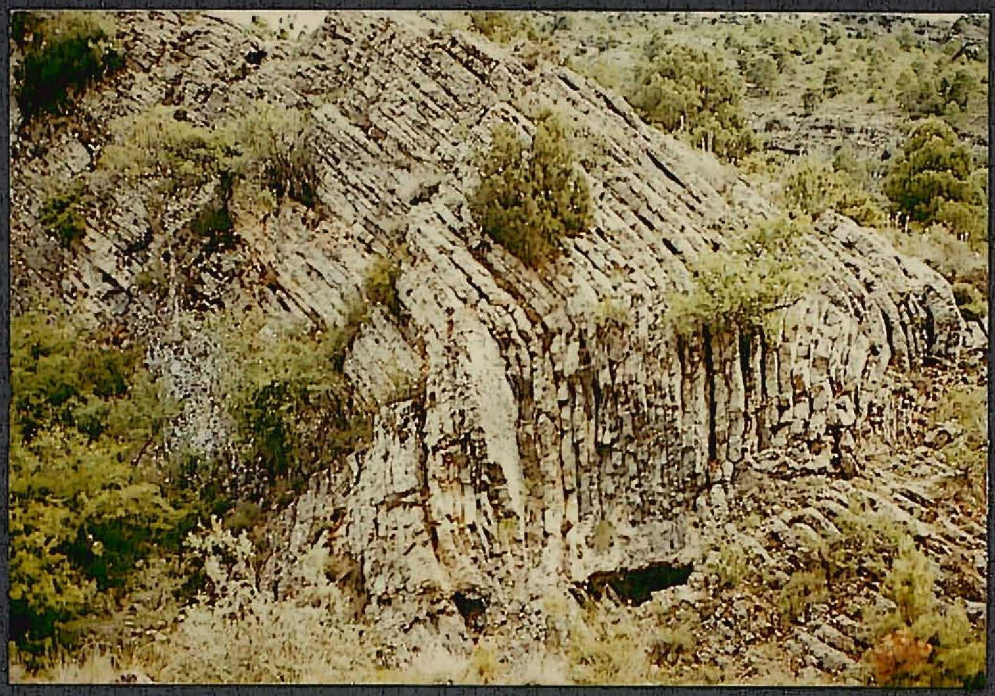
24-23-GS-RM-9523: Dolina en la Fm. Dolomías y calizas tableadas de Cuevas Labradas.



24-23-GS-RM-9524: Canal conglomerático. A techo, areniscas con laminación cruzada y deformaciones hidroplásticas. Mioceno.



24-23-GS-RM-9525: Canales de conglomerados con estratificación cruzada. Mioceno.



24-23-GS-RM-9526: Pliegue de arrastre fallado en las calizas del Dogger.



24-23-GS-RM-9527: Barras en las dolomías tableadas de Villa del Vés.



24-23-GS-RM-9528: Arenisca con pildoras de cuarcita, laminación cruzada - planar y laminación paralela. Mioceno.



24-23-GS-RM-9529: Conglomerados miocenos en el Alto de la Corona.



24-23-GS-RM-9530: Canales arenosos y arcillas Oligocenas.



24-23-GS-RM-9531: Surgencia con cascada de Tobas. El Cambrón.



24-23-GS-RM-9532: Areniscas con estratificación cruzada planar y en surco. Oligoceno.



24-23-GS-RM-9533: Mismo afloramiento de la foto anterior.

























